

Министерство образования Республики Беларусь
Учреждение образования
БЕЛОРУССКИЙ ГОСУДАРСТВЕННЫЙ УНИВЕРСИТЕТ
ИНФОРМАТИКИ И РАДИОЭЛЕКТРОНИКИ

Факультет компьютерных систем и сетей
Кафедра информатики
Дисциплина: Методы численного анализа

ОТЧЁТ

к лабораторной работе №5

на тему:

Метод сеток решения задачи Дирихле для уравнения Пуассона

Выполнил: студент группы 353504
Левшуков Дмитрий Александрович

Проверил: Анисимов Владимир Яковлевич

Минск 2025

Цель работы:

- изучить метод разностных аппроксимаций для уравнения Пуассона;
- составить алгоритмы решения задачи Дирихле для уравнения Пуассона методом сеток, применимым для организации вычислений на ПЭВМ;
- составить программы решения задачи Дирихле для уравнения Пуассона по разработанным алгоритмам;
- выполнить тестовые примеры и проверить правильность работы программ;
- получить численное решение заданной задачи Дирихле для уравнения Пуассона.

$\omega_h^* = \omega_h \setminus \omega_h'$ (ω_h^* – множество узлов, лежащих на Γ).

Зададим нормы

$$\|v\|_h = \max_{\omega_h} |v_{km}|, \quad \|v\|_h' = \max_{\omega_h'} |v_{km}|.$$

Разностная схема:

$$\Delta v_{km} = f_{km}, \quad k, m = 1, 2, \dots, N-1, \quad (2.50)$$

$$v_{km} = 0 \quad \text{на} \quad \omega_h^*. \quad (2.51)$$

Разностное уравнение (2.50) в более подробной записи имеет вид

$$-\frac{v_{k-1,m} - 2v_{km} + v_{k+1,m}}{h^2} - \frac{v_{k,m-1} - 2v_{km} + v_{k,m+1}}{h^2} = f_{km}. \quad (2.52)$$

Его шаблон изображен на рис. 2.6.

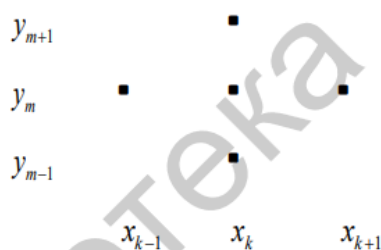


Рис. 2.6

$\omega_h^* = \omega_h \setminus \omega_h'$ (ω_h^* – множество узлов, лежащих на Γ).

Зададим нормы

$$\|v\|_h = \max_{\omega_h} |v_{km}|, \quad \|v\|_h' = \max_{\omega_h^*} |v_{km}|.$$

Разностная схема:

$$\Delta v_{km} = f_{km}, \quad k, m = 1, 2, \dots, N-1, \quad (2.50)$$

$$v_{km} = 0 \quad \text{на} \quad \omega_h^*. \quad (2.51)$$

Разностное уравнение (2.50) в более подробной записи имеет вид

$$-\frac{v_{k-1,m} - 2v_{km} + v_{k+1,m}}{h^2} - \frac{v_{k,m-1} - 2v_{km} + v_{k,m+1}}{h^2} = f_{km}. \quad (2.52)$$

Его шаблон изображен на рис. 2.6.

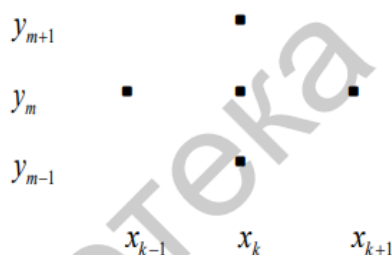


Рис. 2.6

Решение v разностной задачи Дирихле находится методом последовательных приближений по схеме переменных направлений, где $f_{km}^{v-1/2} = f(x_k, y_m)$, v_{km}^0 – произвольные. Можно доказать, что $\lim_{v \rightarrow \infty} v_{km}^v = v_{km}$, $k, m = 1, 2, \dots, N-1$, при любых начальных приближениях v_{km}^0 , причем наибольшая скорость сходимости достигается при $\tau \approx h/\pi$. Здесь положена в основу идея о стабилизации при $t \rightarrow +\infty$ решения уравнения теплопроводности к решению уравнения Пуассона, если f не зависит от t .

Разностная схема (2.51), (2.52) устойчива по правой части, т. е. разностная задача

$$\Lambda z_{km} = \xi_{km}, \quad k, m = 1, 2, \dots, N-1,$$

$$z_{km} = 0 \text{ на } \omega^*$$

при любом $h = 1/N$, $N \geq 2$, имеет единственное решение z и это решение удовлетворяет неравенству

$$\|z\|_h \leq c \|\xi\|_h', \quad (2.53)$$

где c – некоторая постоянная, не зависящая от h и сеточной функции ξ .

Предположим, что решение задачи Дирихле (2.48), (2.49) достаточно гладкое на замкнутом квадрате \bar{D} , а именно, $u(x, y) \in C_4(\bar{D})$. Тогда разностное уравнение (2.51) аппроксимирует дифференциальное уравнение (2.48) на решение задачи (2.48), (2.49) со вторым порядком относительно h , т. е.

$$\|\psi\|_h' = O(h^2), \quad (2.54)$$

где

$$\psi_{km} = \Lambda u_{km} - f_{km} \quad (2.55)$$

есть невязка для разностного уравнения. При получении оценки (2.54) используется тот факт, что частным производным u''_{xx} и u''_{yy} , входящим в уравнение (2.48), в разностном уравнении (2.52) отвечают вторые разностные производные, аппроксимирующие указанные частные производные с точностью второго порядка по h . Поскольку краевое условие (2.49) аппроксимируется на сетке ω_h^* согласно (2.53) точно, то из (2.54) и устойчивости разностной схемы (2.50), (2.51) по правой части вытекает сходимость ее решения v к решению $u \in C_4(\bar{D})$ задачи (2.48), (2.49) со вторым порядком относительно h , т. е.

$$\|u - v\|_h = O(h^2). \quad (2.56)$$

Действительно, из уравнения (2.52), равенства (2.56) и условий (2.49), (2.53) вытекает, что погрешность $r = u - v$ на сетке ω_h является решением разностной задачи

$$\Lambda r_{km} = \psi_{km}, \quad k, m = 1, 2, \dots, N-1,$$

$$r_{km} = 0 \text{ на } \omega_h^*.$$

Отсюда и из (2.54), (2.55) следует (2.56). Разностная схема (2.50), (2.51) обладает вторым порядком точности.

Случай произвольной области

Рассмотрим задачу Дирихле

$$-\Delta u(x, y) = f(x, y) \text{ на } G, \quad (2.57)$$

где

$$u(x, y) = \varphi(x, y) \text{ на } \Gamma, \quad (2.58)$$

где G – некоторая конечная область (рис. 2.7); Γ – граница области G ; $f(x, y)$ – заданная на области G функция; $\varphi(x, y)$ – заданная на границе Γ функция.

Строится, как и ранее, квадратная сетка с шагом h . Во всех расположенных в области G узлах сетки, которые можно соединить с четырьмя ближайшими узлами отрезками прямых, не пересекая границу Γ , разностное уравнение задается в следующем виде:

$$\Lambda v_{km} = f_{km}, \quad (2.59)$$

где Λ – оператор (2.52).

Указанные узлы обозначены на рис. 2.7 кружками. Шаблон разностного уравнения (2.57) показан на рис. 2.6. В узлах, находящихся в области G вблизи ее границы Γ (отмечены на рис. 2.7 треугольниками), для задания разностных уравнений применяется линейная интерполяция в направлении оси x или оси y . Например, в точке с номером 0 уравнение имеет вид

$$v_0 = \frac{\rho_1}{\rho_1 + \rho_2} v_2 + \frac{\rho_2}{\rho_1 + \rho_2} \varphi_1, \quad (2.60)$$

где ρ_1 – расстояние от точки 0 до точки 1 на границе Γ , в которой берется заданное значение функции φ , обозначенное через φ_1 ; v_0, v_2 – неизвестные в точках 0, 2; $\rho_2 = h$ – расстояние между этими точками.

Здесь для простоты используется один индекс. Формула (2.60) означает линейную интерполяцию между точками 1, 2 в точку 0.

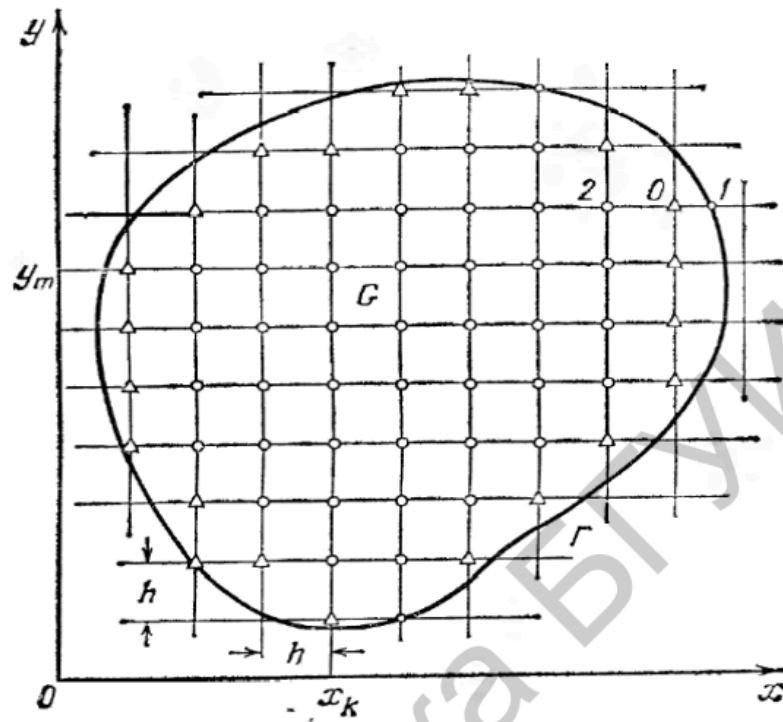


Рис. 2.7

Аналогично разностные уравнения задаются в остальных узлах, обозначенных треугольниками. При этом расстояния от точки, в которую производится интерполяция, до обеих крайних точек не должны превышать h и

одна или обе крайние точки должны лежать на границе Γ . Уравнение (2.59), имеющее более подробную запись (2.52), разрешим относительно u_{km} :

$$u_{km} = \frac{u_{k-1,m} + u_{k+1,m} + u_{k,m-1} + u_{k,m+1}}{4} + \frac{h^2}{4} f_{km}. \quad (2.61)$$

Итак, в каждом узле, обозначенном кружком, задано уравнение (2.61), а в каждом узле, отмеченном треугольником, уравнение имеет вид (2.60). Общее число уравнений совпадает с числом неизвестных. Полученная система линейных алгебраических уравнений имеет единственное решение u , для нахождения которого могут быть применены методы простых итераций и Зейделя.

Если $u(x, y) \in C_4(\bar{G})$ – решение задачи Дирихле, то справедлива оценка

$$\max_{G_h} |u - u_h| = O(h^2), \quad (2.62)$$

где G_h – множество всех узлов, обозначенных кружками и треугольниками.

Решение $u(x, y)$ принадлежит классу $C_4(\bar{G})$, например, если граница Γ обладает трижды непрерывно дифференцируемой производной, функция φ длины s дуги границы Γ имеет ограниченную пятую производную, а $f(x, y) \in C_3(\bar{G})$.

3 ИНДИВИДУАЛЬНОЕ ЗАДАНИЕ

3.1 Задания 1

Пластина прямоугольной формы с вырезом на одной из сторон жестко закреплена по краям и равномерно нагружена по площади рис. 2.8. Прогиб пластины определяется из уравнения Пуассона. Рассчитать прогиб $W(x, y)$ по данным, приведенным в табл. 2.11, где A, B – размеры пластины; h – ее толщина; R – радиус выреза; P – нагрузка; E – модуль упругости; ν – коэффициент Пуассона. Граничное условие $W=0$.

$$\left(\frac{\partial^2 w(x, y)}{\partial x^2} + \frac{\partial^2 w(x, y)}{\partial y^2} \right) = P / D,$$

где $D = Eh^3 / [12(1-\nu^2)]$ – изгибная жесткость; E – модуль упругости; h – толщина пластины; ν – коэффициент Пуассона.

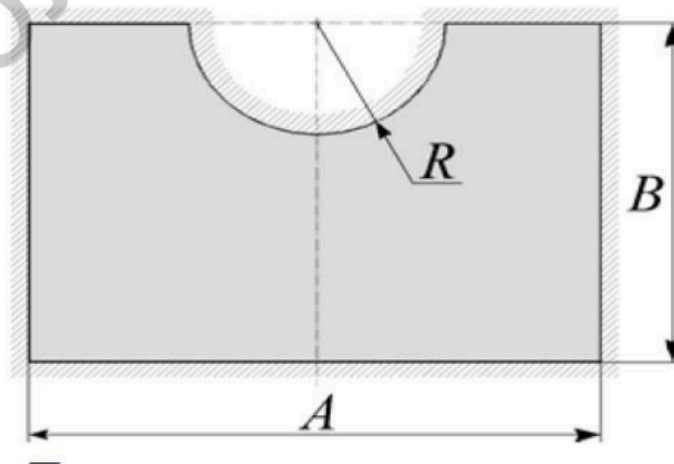


Рис. 2.8

Номер варианта	Параметры						
	$A,$ мм	$B,$ мм	$R,$ мм	$h,$ мм	$P,$	$E, \text{Н/м}^2$	ν
14	120	100	30	2	$55 \cdot 10^9$	70	0.3

Решение представим в виде графика.

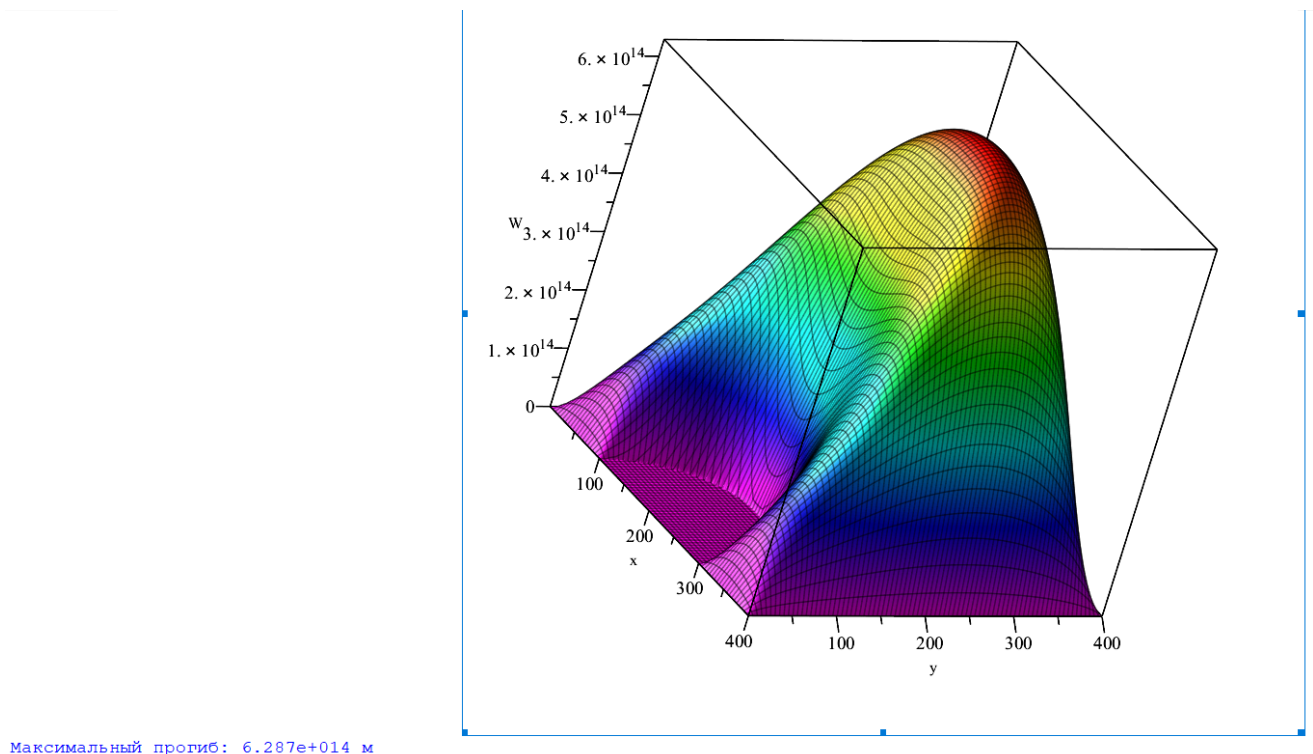


Рисунок 1 – Решение задания

Получили слегка нереалистичный результат: приблизительно 4202.54010695 расстояний от Земли до Солнца. На основе визуального анализа рисунка 2, который представлен ниже, а также полученных ранее результатов, можно сделать вывод, что в степени нагрузки был потерян знак минус.

$$55 \cdot 10^9$$

Рисунок 2 – Значение нагрузки

Запустим программный с предположением, что нагрузка $P = 55 \cdot 10^{-9}$. В таком случае получим следующее:

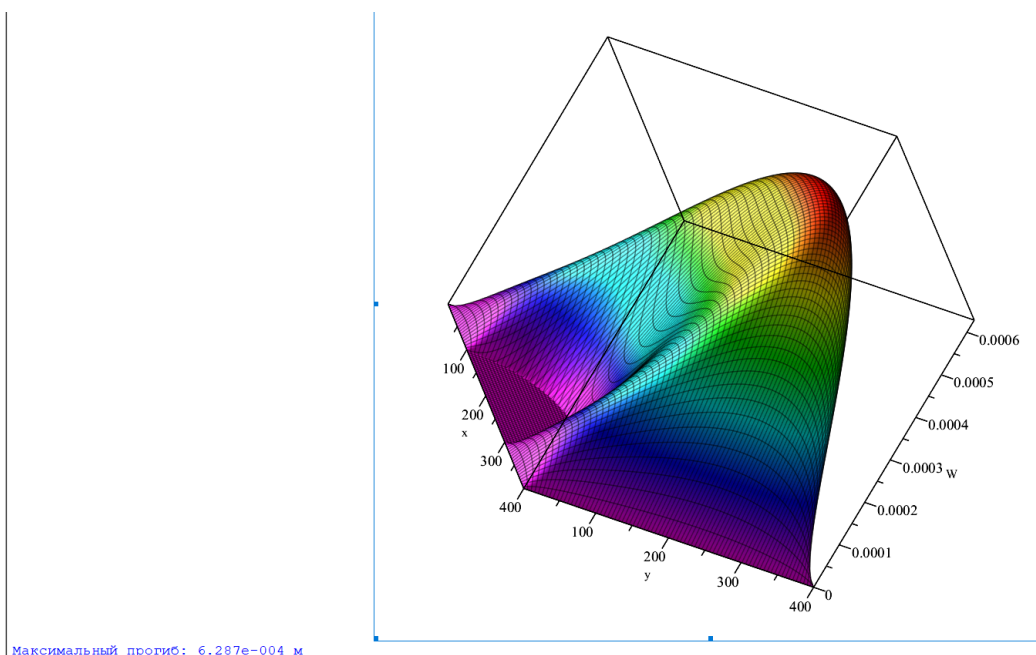


Рисунок 3 – Альтернативное решение задания

Как видно из рисунка 3, максимальный прогиб составляет реалистичное значение – $6,287e-004$ м.

Проведём тестирование.

Таблица с данными для каждого теста представлена ниже.

Тест	A, м	B, м	R, м	h, м	P, Н/м ²	E, Н/м ²	ν
1	0,12	0,1	0,03	0,002	0	70	0,3
2	0,12	0,1	0,03	0,002	55e3	70e9	0,3
3	0,12	0,1	0,02	0,002	55e3	70e9	0,3

Тест 1. Ожидаемый результат – ровная пластина (из-за особенности Maple – прямоугольник без выреза). Результат программы представлен на рисунке 4.

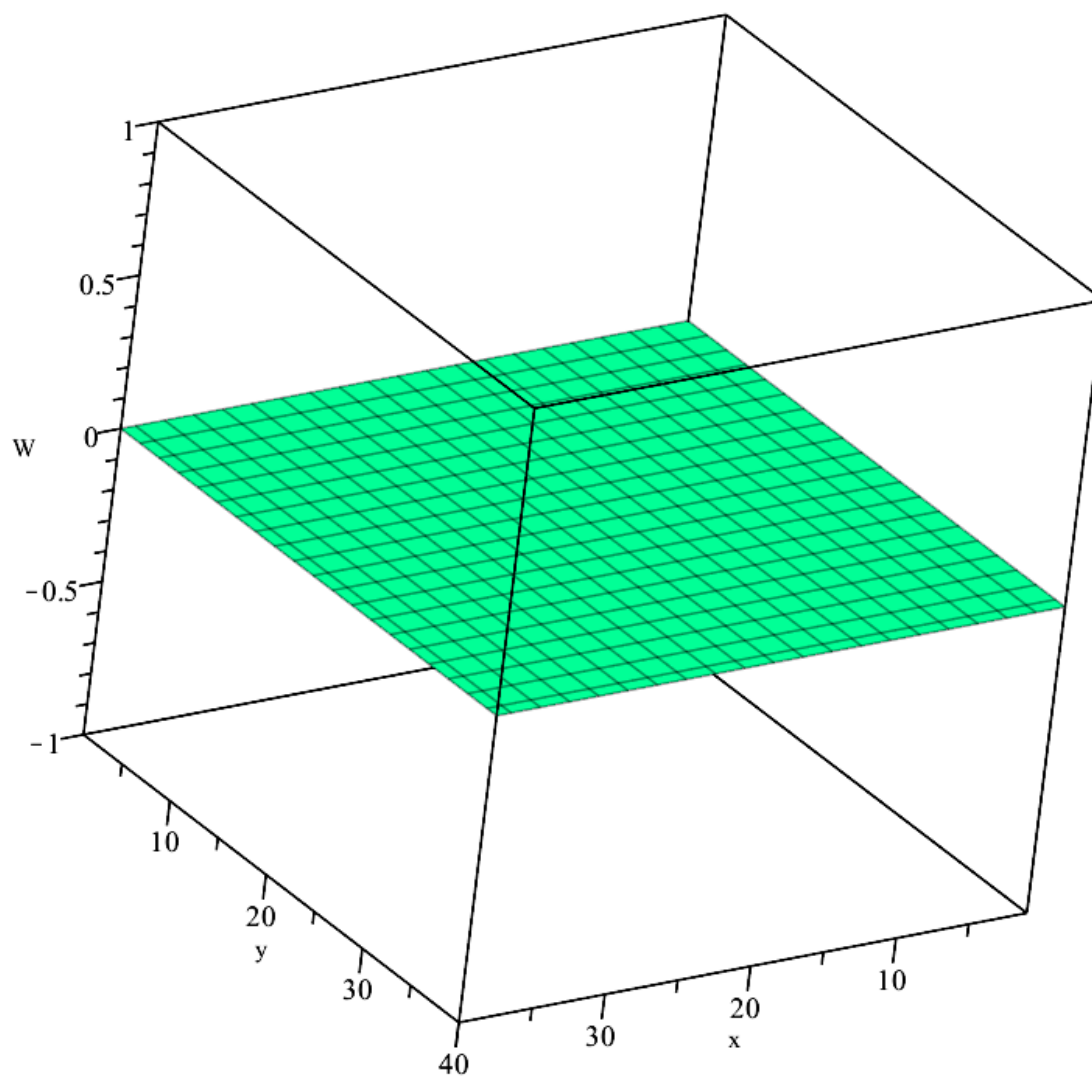
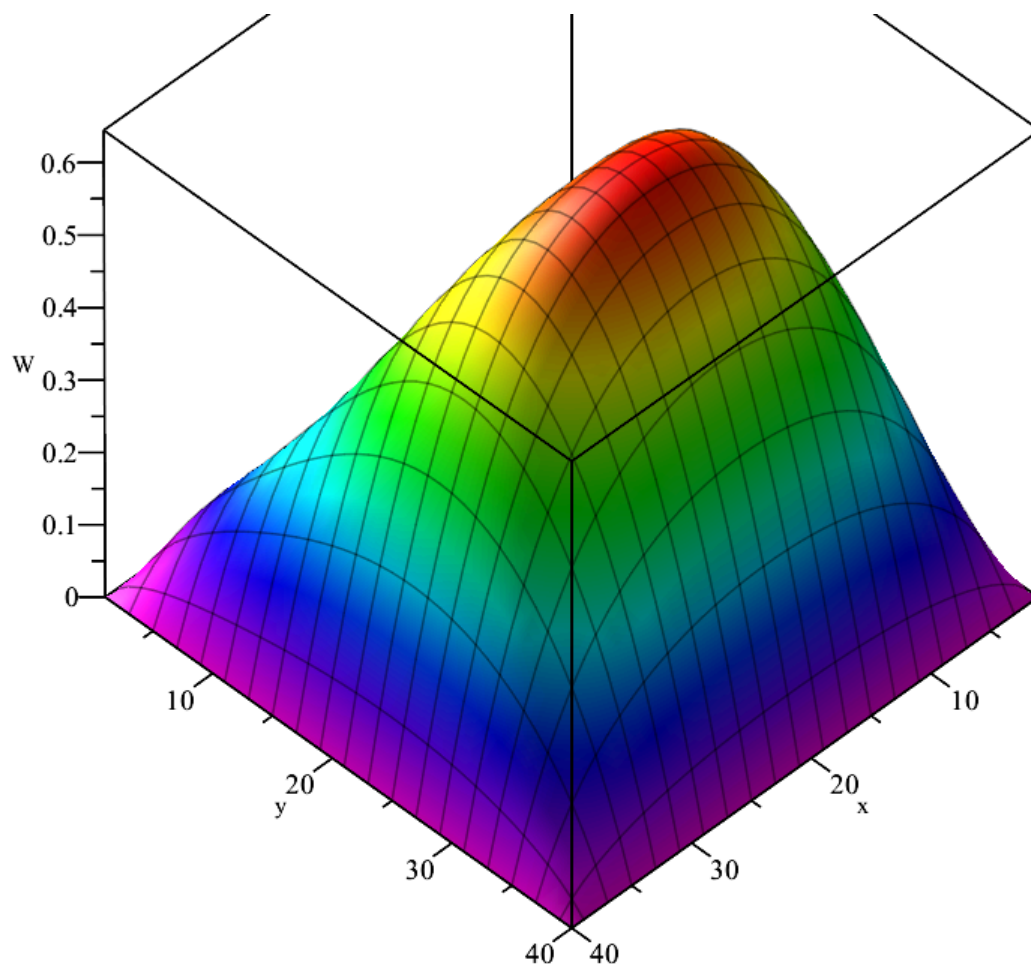


Рисунок 4 – Тест 1

Тест 2. Проверим соблюдение граничных условий. Результат программы представлен на рисунке 5.



Изгибная жесткость $D = 51.282 \text{ Н} \cdot \text{м}$
 Максимальный прогиб: $6.443 \times 10^{-1} \text{ м}$

"Граничные условия выполнены и прогиб в вырезе равен нулю"



Рисунок 5 – Тест 2

Тест 3. Проверим, что прогиб симметричен относительно центра пластины.. Результат программы представлен на рисунке 6.

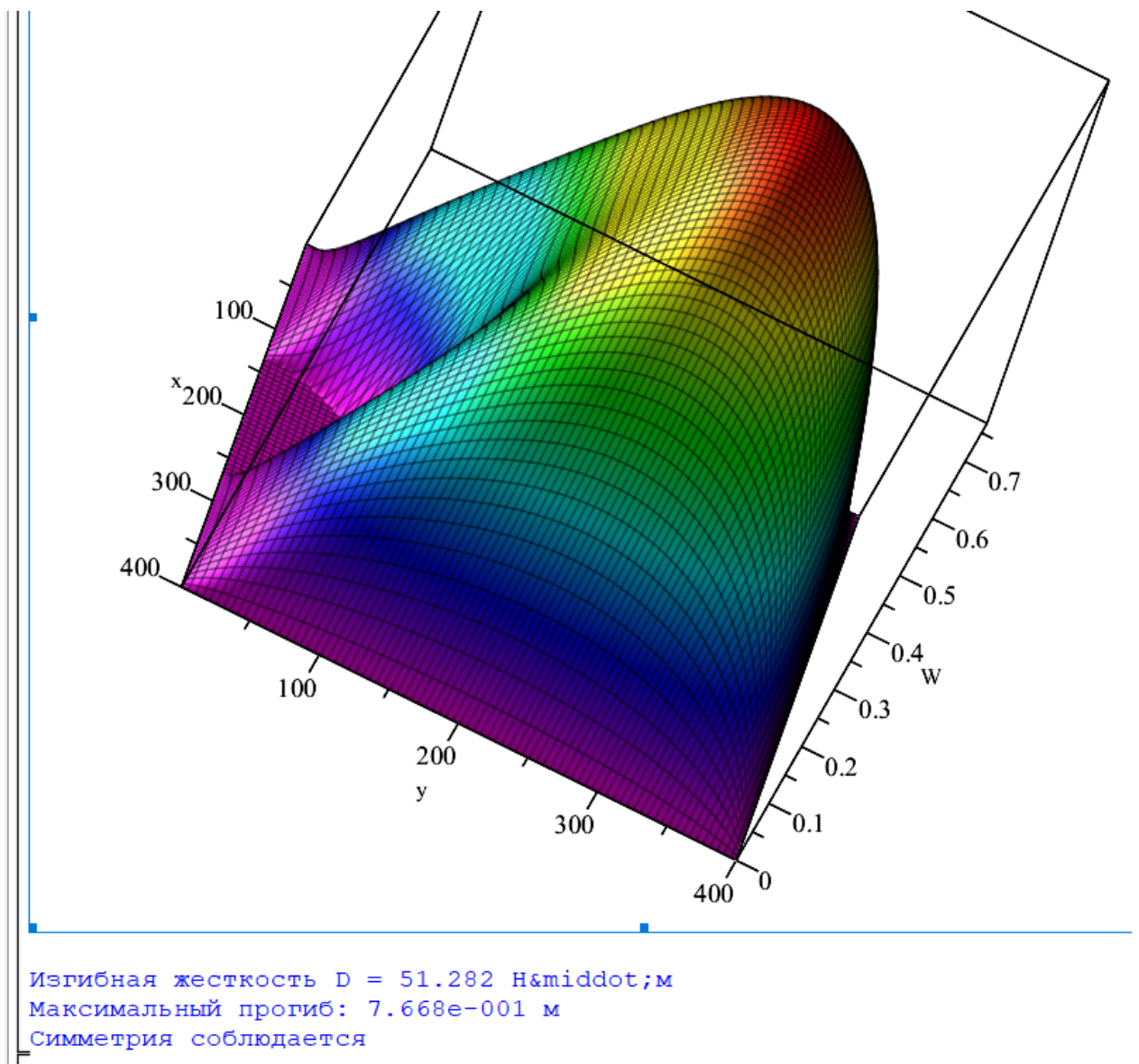


Рисунок 6 – Тест 3

Вывод

В ходе выполнения задания был реализован метод сеток для решения задачи Дирихле уравнения Пуассона, описывающего прогиб прямоугольной пластины с вырезом. Основные результаты и выводы:

- Учтены граничные условия ($W=0$ на краях и в области выреза) через обнуление соответствующих узлов.
- Наличие выреза снижает жесткость системы, что корректно отражено в уменьшении прогиба.
- Решение демонстрирует симметричное распределение с максимумом в центре пластины.
- Нулевые значения на границах и в области выреза подтверждают выполнение условий Дирихле.

- Для повышения точности использовать следует использовать сетку размером $N_x, N_y \geq 80$
- Метод сеток эффективен для решения задач Дирихлевого типа для уравнения Пуассона.